

Внутренняя структура вихрей в двухкомпонентном конденсате экситонных поляритонов

Н. С. Воронова^{+*1)}, М. А. Посаженов⁺, Ю. Е. Лозовик^{#×1)}

⁺Национальный исследовательский ядерный университет “МИФИ”, 115409 Москва, Россия

^{*}Российский квантовый центр, 143025 Сколково, Россия

[#]Институт спектроскопии Российской академии наук, 142190 Троицк, Россия

[×]Московский институт электроники и математики им. А.Н. Тихонова – Национальный исследовательский университет “Высшая школа экономики”, 123458 Москва, Россия

Поступила в редакцию 30 октября 2017 г.

В работе представлено теоретическое описание вихревых решений связанных уравнений типа Гросса–Питаевского в двухкомпонентном бозе-конденсате экситонных поляритонов с учетом зависимости энергии расщепления Раби от плотности экситонной составляющей. Показано, что учет эффекта голубого сдвига приводит к значительному снижению плотностей обеих компонент конденсата. Вычислены пространственные профили экситонов и фотонов в поляритонной системе с учетом нелинейных поправок и энергия образования вихревого возбуждения.

DOI: 10.7868/S0370274X17230126

Экситонные поляритоны — собственные моды полупроводниковой микрополости, в которую погружены квантовые ямы (КЯ), образующиеся в результате гибридизации фотонной и экситонной мод [1, 2]. Они замечательны своей предрасположенностью к макроскопическому заселению одного или нескольких квантовых состояний [3, 4]. Из-за своей смешанной природы, объединяющей свойства света и материи, эти квазичастицы обладают весьма специфическими свойствами, приводящими к множеству необычных эффектов, таких как высокотемпературная бозе-конденсация [5–7], сверхтекучесть [8, 9], спонтанное формирование вихрей [10–13], бозонный эффект Джозефсона [14–16]. В так называемом поляритонном лазере [3] конденсат экситонных поляритонов испускает свет в силу неидеальности брэгговских зеркал [17]. Такое излучение является спонтанным, однако выходящий из микрополости свет имеет все свойства лазерного излучения: он когерентен, монохроматичен, поляризован и однонаправлен, и при этом позволяет полностью получать информацию о системе, не разрушая ее квантового состояния.

Поляритоны в микрорезонаторе представляют собой квазидвумерную систему бозонов двух типов с взаимными превращениями. Экситоны в КЯ и квазидвумерные фотоны микрополости, обладая квадратичными законами дисперсии, имеют существен-

но различные эффективные массы ($m_C/m_X \sim 10^{-4}$). Закон дисперсии новых собственных состояний состоит из двух ветвей (рис. 1), причем при низких температурах макроскопически заселенной оказыва-

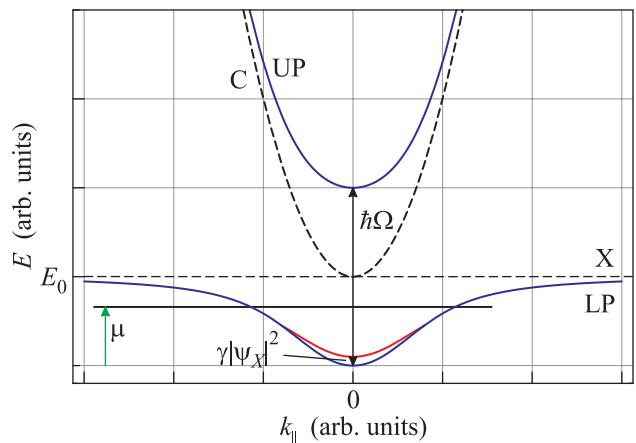


Рис. 1. (Цветной онлайн) Законы дисперсии экситона в КЯ (X), фотона в микрополости (C), нижнего (LP) и верхнего (UP) поляритонов для случая нулевой расстройки между модами. E_0 – уровень отсчета энергии, определяемый шириной полости. Схематично изображена учитываемая поправка $\gamma|\psi_X|^2$ за счет взаимодействия между экситонами (“голубой сдвиг”). Для конденсата нижних поляритонов химический потенциал μ может принимать значения от $E_0 - \hbar\Omega/2$ до E_0 , т.е. $0 < a < 1$, где $a = (E_0 - \mu)/(\hbar\Omega/2)$ (см. текст)

¹⁾e-mail: nsvoronova@mephi.ru; lozovik@isan.troitsk.ru

ется только нижняя поляритонная ветвь. В предположении, что система представляет собой бозе-конденсат нижних поляритонов, в данной работе мы исследуем структуру вихревых решений уравнения Гросса–Питаевского [18] для двухкомпонентной системы экситонов и фотонов со взаимными превращениями. Вихри в поляритонном конденсате ранее исследовались как экспериментально [10–13], так и теоретически [19–23], и представляют интерес с точки зрения топологического перехода Березинского–Костерлица–Таулеса [24, 25] и турбулентных явлений в бозе-конденсате.

Необходимо подчеркнуть, что в режиме сильной связи именно нижняя и верхняя поляритонные моды (см. рис. 1) являются новыми собственными состояниями гамильтониана связанной системы фотонов и экситонов. В этом смысле рассматриваемая система является однокомпонентным бозе-конденсатом нижних поляритонов со скалярной волновой функцией Ψ_{LP} , в отличие от многокомпонентных сверхтекучих систем типа $^3\text{He-B}$, в которых из-за сложной топологии параметра порядка может наблюдаться нарушение осевой симметрии [26, 27] и расщепление вихрей на пары пространственно разделенных полуквантовых вихрей [28, 29]. В случае экситон-поляритонной системы двухкомпонентное описание в базисе экситонного и фотонного состояний $(\Psi_X, \Psi_C)^T$ означает при обратном переходе к Ψ_{LP} лишь неоднородность коэффициентов унитарного преобразования, диагонализующего гамильтониан системы (коэффициентов Хопфилда) [1]. Поэтому нарушения аксиальной симметрии в случае поляритонных вихрей не происходит. Полуквантовые вихри в системе экситонных поляритонов могут наблюдаться в случае суперпозиции конденсатов с правой (σ^+) и левой (σ^-) круговыми поляризациями (различными псевдоспинами), однако и в этом случае осевая симметрия сохраняется: полувихри характеризуются одновременным изменением фазы и поворотом вектора поляризации на $\pm\pi$ при обходе вокруг кора вихря, что эффективно приводит к целому вихрю в одной компоненте и отсутствию вихря в другой [12]. Принципиальное отличие рассматриваемой эффективно двухкомпонентной системы экситонов и фотонов от “истинно” многокомпонентных систем, рассмотренных в [26–29], и от суперпозиции поляритонных конденсатов с σ^+ и σ^- поляризациями [12] заключается в том, что уравнения типа Гросса–Питаевского, рассматриваемые далее, связаны обменными слагаемыми, описывающими резонансное взаимопревращение частиц одного типа в частицы другого типа, тогда как в описанных выше случаях урав-

нения связаны лишь взаимодействием между частицами.

Пространственное распределение конденсатов экситонов и фотонов может быть описано в приближении среднего поля следующими связанными уравнениями [21–23]:

$$\begin{cases} i\hbar \partial_t \Psi_X = -\frac{\hbar^2}{2m_X} \nabla^2 \Psi_X + g |\Psi_X|^2 \Psi_X + \frac{\Delta}{2} \Psi_C, \\ i\hbar \partial_t \Psi_C = -\frac{\hbar^2}{2m_C} \nabla^2 \Psi_C + \frac{\Delta}{2} \Psi_X, \end{cases} \quad (1)$$

где $\Psi_{X,C}$ и $m_{X,C}$ – макроскопические волновые функции и эффективные массы экситонов (X) и фотонов (C) соответственно, $g > 0$ – константа экситон-экситонного взаимодействия, $\Delta \equiv \hbar\Omega$ – энергия расщепления между нижней и верхней поляритонными ветвями (Ω – частота Раби).

Цель настоящего исследования – изучить влияние на внутреннюю структуру вихря зависимости энергии расщепления Раби (ее эффективного уменьшения) от плотности экситонной фракции за счет взаимодействия: $\Delta = \hbar\Omega(1 - \gamma |\Psi_X|^2)$ (см. рис. 1). Данный “голубой сдвиг” энергии расщепления был предсказан теоретически [30] и наблюдался экспериментально в системах экситонных поляритонов [31–34]. Влияние голубого сдвига на формирование вихрей было экспериментально исследовано в работе [35]. Значения параметра γ могут быть определены из сравнения с экспериментом. Например, в [32] наблюдался голубой сдвиг спектра испускания вплоть до 3 мэВ при расщеплении между ветвями 7.45 мэВ. В данной работе везде предполагается выполнение условия $\gamma |\Psi_X|^2 \ll 1$.

В нашем рассмотрении будем считать для простоты, что энергетическая расстройка между фотонной и экситонной модами равна нулю, т.е. $E_0^C = E_0^X = E_0$. Тогда в стационарном случае $\Psi_{X,C}(\mathbf{r}, t) = \psi_{X,C}(\mathbf{r}) \exp\{-(i/\hbar)(\mu - E_0)t\}$ (μ – химический потенциал, фиксирующий полное число частиц в системе) получим из (1) следующую систему нелинейных уравнений:

$$\begin{cases} \left(-\frac{\hbar^2}{2m_X} \nabla^2 + E_0 - \mu + g |\psi_X|^2 \right) \psi_X + \frac{\hbar\Omega}{2} (1 - \gamma |\psi_X|^2) \psi_C = 0, \\ \left(-\frac{\hbar^2}{2m_C} \nabla^2 + E_0 - \mu \right) \psi_C + \frac{\hbar\Omega}{2} (1 - \gamma |\psi_X|^2) \psi_X = 0. \end{cases} \quad (2)$$

Будем искать решения системы (2) в виде вихревой нити, т.е. обладающие цилиндрической симметрией при обходе вокруг оси z :

$$\psi_X(r, \varphi) = \sqrt{n_X^0} e^{i(s\varphi - \pi)} f(x), \quad \psi_C(r, \varphi) = \sqrt{n_C^0} e^{is\varphi} j(x),$$

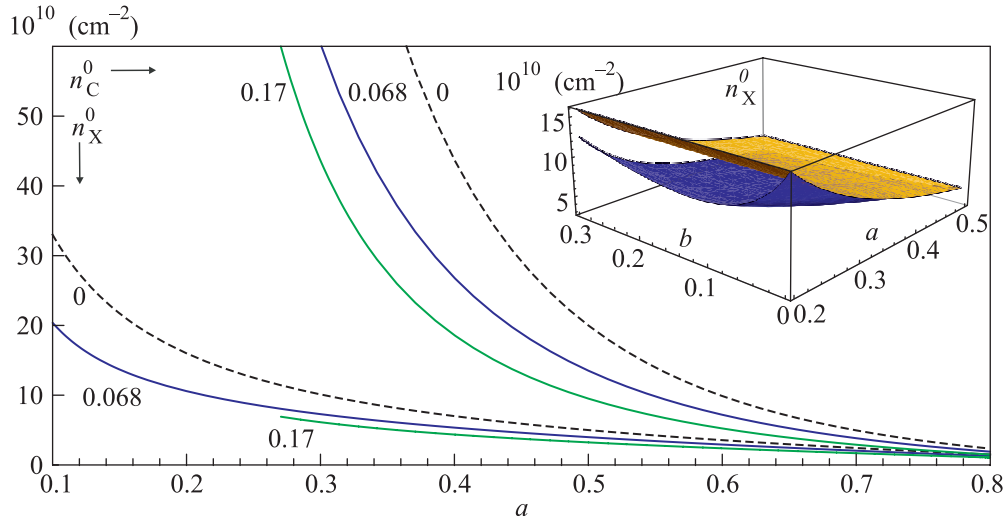


Рис. 2. (Цветной онлайн) Плотности однородных конденсатов фотонов n_C^0 и экситонов n_X^0 на бесконечности в зависимости от параметра голубого сдвига $b = \kappa/g$ согласно формулам (4), (5). Пунктирные линии показывают равновесные плотности без учета поправки, сплошные линии – для значений b , указанных на графике. Для $b = 0.17$ в области $a < 0.3$ перестает выполняться условие $b \ll a/(1-a^2)$. Видно, что учет поправки приводит к понижению как плотностей обеих компонент, так и их отношения n_C^0/n_X^0 . На врезке показан трехмерный график зависимости n_X^0 от a и b . Физические параметры: $m_C/m_X = 0.0001$, $\hbar\Omega/2 = 5$ мэВ, $g = 0.015$ мэВ · мкм²

где $n_{X,C}^0$ – невозмущенные плотности экситонного и фотонного конденсатов, s – целое число, отвечающее моменту импульса частицы $\ell_z = s\hbar$. Здесь введена безразмерная координата $x = r/\xi_X$, где $\xi_X = \hbar^2/\sqrt{2m_Xgn_X^0}$ – длина залечивания экситонной волновой функции, и учтено, что волновые функции фотонов и экситонов в конденсате нижних поляритонов должны иметь разность фаз π [36]. Вдали от края вихря плотности $|\psi_{X,C}|^2$ должны выходить на свои невозмущенные значения, что накладывает условие стремления к 1 на функции $f(x)$ и $j(x)$ при $x \rightarrow \infty$.

Получаем уравнения:

$$\begin{cases} \Delta f - \left(\omega + \frac{s^2}{x^2}\right)f = -\sqrt{\frac{n_C^0}{n_X^0}} \left(\alpha - \frac{\kappa}{g} f^2\right)j + f^3, \\ \Delta j - \left(\frac{m_C}{m_X} \omega + \frac{s^2}{x^2}\right)j = -\frac{m_C}{m_X} \sqrt{\frac{n_X^0}{n_C^0}} \left(\alpha - \frac{\kappa}{g} f^2\right)f, \end{cases} \quad (3)$$

в которых введены обозначения $\omega = (E_0 - \mu)/gn_X^0$, $\alpha = \hbar\Omega/2gn_X^0$, $\kappa = \hbar\Omega\gamma/2$.

Поведение системы, таким образом, регулируется двумя безразмерными параметрами: $a = \omega/\alpha = 2(E_0 - \mu)/\hbar\Omega$ и $b = \kappa/g$, причем параметр a зависит от химического потенциала системы и может принимать значения в пределах 0 до 1, а накладываемое условие малости $\gamma n_X^0 \ll 1$ отвечает условию $b \ll a/(1-a^2)$, т.е. параметр b не обязательно мал по сравнению с единицей: с уменьшением химического

потенциала (ростом a) его влияние на поведение системы значительно усиливается. Отметим, что предел $a \rightarrow 1$ означает стремление к нулю полного числа частиц в конденсате и физически не реализуется.

Требование $f(\infty) \rightarrow 1$, $j(\infty) \rightarrow 1$ приводит к выражениям для равновесных концентраций (с точностью до второго порядка по b):

$$n_X^0 = \frac{E_0 - \mu}{g} \frac{1 - a^2}{a} \frac{1 + \frac{1-a^2}{a^2} b^2}{1 + \frac{2}{a} b}, \quad (4)$$

$$n_C^0 = n_X^0 \frac{1 + 2ab + \frac{(1-a^2)^2}{a^2} b^2}{1 + \frac{2}{a} b}. \quad (5)$$

Как сказано выше, влияние поправки b растет с понижением химического потенциала системы. Из полученных выражений видно (рис. 2 и врезка рис. 3а), что учет голубого сдвига приводит к заметному понижению невозмущенных плотностей обеих компонент при фиксированном химическом потенциале, причем полученные с учетом поправки значения сходятся с экспериментально наблюдаемыми плотностями в поляритонных системах [5], в то время как значения для $b = 0$ оказываются сильно завышенными.

Второе уравнение системы (3) для фотонной функции $j(x)$ в пренебрежении членами $\sim m_C/m_X$ упрощается до $j''(x) + j'(x)/x - j(x)s^2/x^2 = 0$, нетривиальное решение которого при $x \rightarrow 0$ ведет себя как $j(x) \sim x^{|s|}$, а в пределе $x \rightarrow \infty$ расходится. Таким образом, для удовлетворения требования

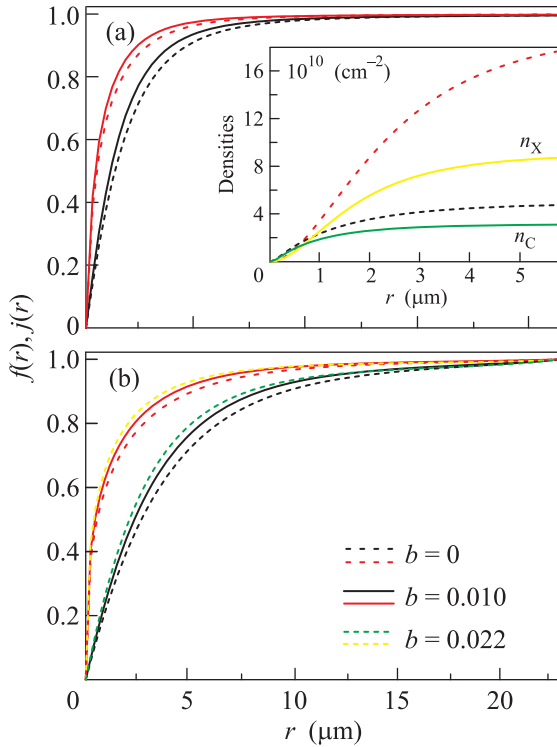


Рис. 3. (Цветной онлайн) Численные решения системы уравнений (3) с $s = 1$. (а) – Для $a = 0.5$, $b = 0$ (пунктирные красная ($f(r)$) и черная ($j(r)$) кривые) и $b = 0.068$ (сплошные красная ($f(r)$) и черная ($j(r)$) линии). На врезке показаны профили плотностей экситонной $n_X(r)$ и фотонной $n_C(r)$ компонент конденсата для $a = 0.5$ и $b = 0.17$. Видно, что равновесные значения плотностей значительно понижены при учете поправки на голубой сдвиг энергии. (б) – Для $a = 0.1$ и значений b , указанных на рисунке, и отвечающих голубому сдвигу $\gamma n_X^0 = 0.08$ и 0.15 соответственно. В данном случае при повышении химического потенциала системы разница в длинах залечивания экситонной и фотонной компонент заметно увеличивается. Физические параметры, использованные в моделировании, те же, как и на рис. 2

$j(x \rightarrow \infty) = 1$ необходимо учитывать малые слагаемые. В общем случае система нелинейных уравнений (3) решалась численно для $s = 1$ и различных значений параметров a и b . Полученные решения $f(x)$ и $j(x)$ представлены на рис. 3 для $a = 0.5$ и $a = 0.1$. Различие пространственных профилей двух подсистем связано с наличием в системе двух в различных характерных масштабов – экситонной длины залечивания ξ_X (см. выше) и длины залечивания фотонной волновой функции $\xi_C = \hbar^2 / \sqrt{2m_C(E_0 - \mu)}$, причем $\xi_C > \xi_X$ всегда. В разреженном пределе (см. рис. 3а) они приближаются друг к другу, тогда как в пределе большого числа частиц (рис. 3б) существенно раз-

личны. Как можно видеть, с ростом поправки на голубой сдвиг b профили сильнее вытягиваются внутрь кора вихря. Однако при переходе к плотностям фотонного и экситонного конденсатов $n_X(r) = n_X^0 f^2(r)$, $n_C(r) = n_C^0 j^2(r)$ с учетом выражений (4), (5) оказывается, что эффект обратный: частицы выталкиваются из центра, и экситонная фракция внутри вихря уменьшается, хоть и остается, вплоть до определенных r , выше доли фотонной компоненты поляритонного газа. Зависимость плотностей компонент конденсата с учетом и без учета поправки b показана на врезке рис. 3а.

Наконец, определим энергию вихревого возбуждения в двухкомпонентном поляритонном конденсате. Для этого, считая число частиц в системе фиксированным, запишем большой канонический функционал и вычтем из него энергию основного состояния однородного конденсата [18], что в терминах безразмерных функций f и j дает:

$$\mathcal{E}_v = \pi \frac{\hbar^2 n_X^0}{m_X} \int_0^{R/\xi_X} \left\{ \frac{m_X \omega + 1}{m_C \omega} \left[\left(\frac{dj}{dx} \right)^2 + \frac{s^2}{x^2} j^2 \right] + \left(\frac{df}{dx} \right)^2 + \frac{s^2}{x^2} f^2 + (\omega + 1)(f - j)^2 + \frac{1}{2}(f^2 - 1)^2 \right\} x dx, \quad (6)$$

где интегрирование ведется по пятну радиуса R .

Из (6) следует, что основной вклад в энергию дает кинетическая энергия фотонной компоненты, а при увеличении R (в пределе $f, j \rightarrow 1$) выражение (6) ведет себя как

$$\mathcal{E}_v = \pi \frac{\hbar^2 n_C^0}{m_C} \ln \left(\frac{\beta R}{\xi} \right), \quad (7)$$

где коэффициент $\beta \sim 10^{-3}$ зависит от a и b и определяется фитированием.

Результат численного интегрирования для энергии возбуждения вихря с моментом $s = 1$ и логарифмические фиты по формуле (7) показаны на рис. 4 для $a = 0.1$ (а) и $a = 0.6$ (б). По графикам рис. 4б можно сделать вывод, что в разреженном пределе формула (7) согласуется с результатом численного интегрирования, тогда как в случае большого числа частиц (рис. 4а) при малых R энергия ведет себя по-другому за счет вклада от экситонных и обменных слагаемых. Полученный результат позволяет при переходе во вращающуюся систему отсчета оценить, в каком случае образование вихря становится более энергетически выгодным по сравнению с однородным решением $\Psi_{X,C} = \sqrt{n_{X,C}^0}$. Это происходит при угловой скорости вращения конденса-

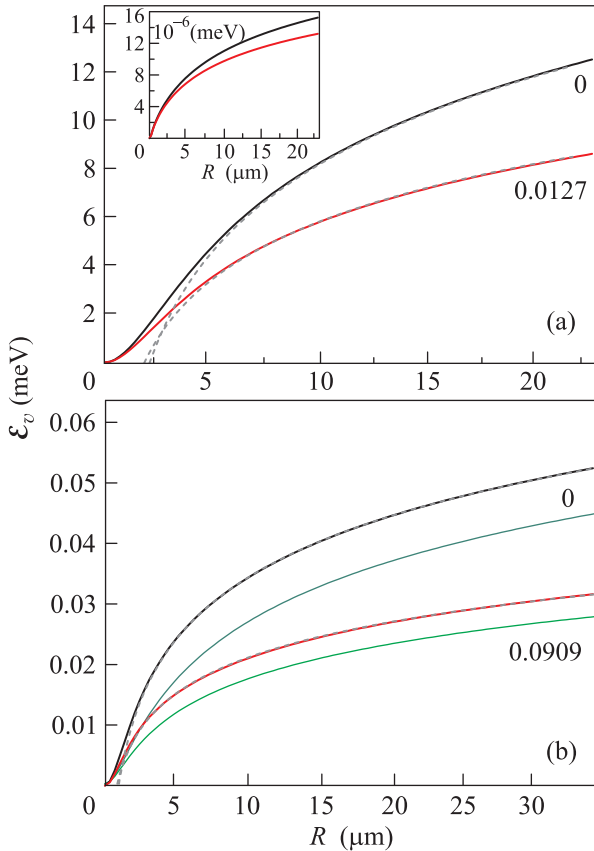


Рис. 4. (Цветной онлайн) Энергия возбуждения поляритонного вихря с моментом $s = 1$, определенная численным интегрированием выражения (6) (сплошные линии) и по формуле (7) (пунктирные линии): (a) – в условиях большого числа частиц ($a = 0.1$), без учета поправки b (черным) и для $b = 0.0127$ (красным). Видно, что внутри кора вихря формула (7) не согласуется с результатом численного интегрирования, т.е. из-за наполненности кора экситонами вклад в энергию внутри кора менее зависит от фотонной компоненты. На врезке показана кинетическая энергия экситонной компоненты конденсата. (b) – разреженный предел ($a = 0.6$) для значений $b = 0$ и 0.0909 . Тонкие зеленые линии показывают вклад от кинетической энергии фотонной компоненты. Физические параметры те же, что на рис. 2

та выше критического значения $\Omega_{\text{cr}} = \mathcal{E}_v/N\hbar$, где $N = (n_X^0 + n_C^0)\pi R^2$ – полное число поляритонов.

Таким образом, в данной работе показано, что учет влияния голубого сдвига экситонов на энергию расщепления Раби значительно меняет в меньшую сторону плотности обеих компонент поляритонного конденсата как на бесконечности (в приближении Томаса–Ферми), так и внутри кора вихря, сохраняя при этом эффект разницы длин залечивания для экситонов и фотонов. В меру понижения плотно-

сти также понижается и энергия вихревого возбуждения. Отличие результата (6) от энергии однокомпонентного вихря (см., например, [18]) заключается в появлении дополнительного вклада в энергию за счет обмена частицами и отклонения зависимости от логарифмической на малых радиусах. Подчеркнем, что преимуществом использованного нами двухкомпонентного подхода является возможность предсказать несовпадение пространственных распределений экситонной и фотонной фракций поляритонного конденсата, которое можно обнаружить в ближнем поле излучения из полости. Кроме того, как можно видеть из рис. 3, при увеличении накачки размер кора поляритонного вихря растет за счет наполнения системы фотонами, что контрастирует с атомными конденсатами, где увеличение числа частиц приводит к уменьшению длины залечивания и, соответственно, сужению кора вихря. Данное обстоятельство может быть легко проверено экспериментально, так как в случае поляритонных систем детектируется именно фотонная компонента конденсата.

Авторы благодарны рецензенту за ценный комментарий и указание полезной литературы [28, 29]. Исследование частично выполнено за счет гранта Президента Российской Федерации для государственной поддержки молодых российских ученых МК-201.2017.2 (Н.С.В. и М.А.П.) и РФФИ в рамках научного проекта #16-32-60066 мол_a_дк (Н.С.В.). Ю.Е.Л. поддержан Программой фундаментальных исследований ВШЭ. Н.С.В. и М.А.П. благодарны финансовой поддержке Программы Повышения Конкурентноспособности НИЯУ МИФИ.

1. A. Kavokin, J.J. Baumberg, G. Malpuech, and F.P. Laussy, *Microcavities* (2nd ed.), Oxford Univ. Press (2017).
2. *Exciton Polaritons in Microcavities: New Frontiers*, ed. by D. Sanvitto and V. Timofeev, Springer (2012).
3. A. Imamoglu, R. J. Ram, S. Pau, and Y. Yamamoto, *Phys. Rev. A* **53**, 4250 (1996).
4. J. J. Baumberg, P. G. Savvidis, R. M. Stevenson, A. I. Tartakovskii, M. S. Skolnick, D. M. Whittaker, and J. S. Roberts, *Phys. Rev. B* **62**, 16247(R) (2000).
5. J. Kasprzak, M. Richard, S. Kundermann, A. Baas, P. Jeambrun, J.M.J. Keeling, F.M. Marchetti, M.H. Szymanska, R. André, J.L. Staehli, V. Savona, P.B. Littlewood, B. Deveaud, and Le Si Dang, *Nature* (London) **443**, 409 (2006).
6. S. Christopoulos, G. Baldassarri Höger von Högersthal, A.J.D. Grundy, P.G. Lagoudakis, A.V. Kavokin, J.J. Baumberg, G. Christmann, R. Butté, E. Feltin, J.-F. Carlin, and N. Grandjean, *Phys. Rev. Lett.* **98**, 126405 (2007).

7. J.J. Baumberg, A.V. Kavokin, S. Christopoulos, A.J.D. Grundy, R. Butté, G. Christmann, D.D. Solnyshkov, G. Malpuech, G. Baldassarri Höger von Högersthal, E. Feltin, J.-F. Carlin, and N. Grandjean, *Phys. Rev. Lett.* **101**, 136409 (2008).
8. I. Carusotto and C. Ciuti, *Phys. Rev. Lett.* **93**, 166401 (2004).
9. A. Amo, J. Lefrère, S. Pigeon, C. Adrados, C. Ciuti, I. Carusotto, R. Houdré, E. Giacobino, and A. Bramati, *Nat. Phys.* **5**, 805 (2009).
10. D. Sanvitto, F.M. Marchetti, M.H. Szymanska, G. Tosi, M. Baudisch, F.P. Laussy, D.N. Krizhanovskii, M.S. Skolnick, L. Marrucci, A. Lemaitre, J. Bloch, C. Tejedor, and L. Vina, *Nat. Phys.* **6**, 527 (2010).
11. K.G. Lagoudakis, M. Wouters, M. Richard, A. Baas, I. Carusotto, R. André, Le Si Dang, and B. Deveaud-Plédran, *Nat. Phys.* **4**, 706 (2008).
12. K.G. Lagoudakis, T. Ostatnický, A.V. Kavokin, Y.G. Rubo, R. André, and B. Deveaud-Plédran, *Science* **326**, 974 (2009).
13. E.A. Ostrovskaya, J. Abdullaev, A.S. Desyatnikov, M.D. Fraser, and Y.S. Kivshar, *Phys. Rev. A* **86**, 013636 (2012).
14. K.G. Lagoudakis, B. Pietka, M. Wouters, R. André, and B. Deveaud-Plédran, *Phys. Rev. Lett.* **105**, 120403 (2010).
15. M. Abbarchi, A. Amo, V.G. Sala, D.D. Solnyshkov, H. Flayac, L. Ferrier, I. Sagnes, E. Galopin, A. Lemaitre, G. Malpuech, and J. Bloch, *Nat. Phys.* **9**, 275 (2013).
16. N.S. Voronova, A.A. Elistratov, and Yu.E. Lozovik, *Phys. Rev. Lett.* **115**, 186402 (2015).
17. M.S. Skolnick, T.A. Fisher, and D.M. Whittaker, *Semicond. Sci. Technol.* **13**, 645 (1998).
18. L.P. Pitaevskii and S. Stringary, *Bose-Einstein Condensation and Superfluidity*, Oxford Univ. Press (2016).
19. Y.G. Rubo, *Phys. Rev. Lett.* **99**, 106401 (2007).
20. J. Keeling and N. Berloff, *Phys. Rev. Lett.* **100**, 250401 (2008).
21. A.V. Gorbach, R. Hartley, and D.V. Skryabin, *Phys. Rev. Lett.* **104**, 213903 (2010).
22. N.S. Voronova and Yu.E. Lozovik, *Phys. Rev. B* **86**, 195395 (2012).
23. A.V. Yulin, D.V. Skryabin, and A.V. Gorbach, *Phys. Rev. B* **92**, 064306 (2015).
24. G. Roumpos, M.D. Fraser, A. Löffler, S. Höfling, A. Forchel, and Y. Yamamoto, *Nat. Phys.* **7**, 129 (2011).
25. W.H. Nitsche, N.Y. Kim, G. Roumpos, C. Schneider, M. Kamp, S. Höfling, A. Forchel, and Y. Yamamoto, *Phys. Rev. B* **90**, 205430 (2014).
26. M.M. Salomaa and G.E. Volovik, *Phys. Rev. Lett.* **56**(4), 363 (1986).
27. G.E. Volovik, *JETP Lett.* **52**, 358 (1990).
28. M.A. Silaev, E.V. Thuneberg, and M. Fogelström, *Phys. Rev. Lett.* **115**, 235301 (2015).
29. A.A. Zyuzin, J. Garaud, and E. Babaev, *Phys. Rev. Lett.* **119**, 167001 (2017).
30. C. Ciuti and I. Carusotto, *Phys. Stat. Sol. (b)* **242**, 2224 (2005).
31. C. Ciuti, P. Schwendimann, B. Deveaud, and A. Quattropani, *Phys. Rev. B* **62**, 4825(R) (2000).
32. H. Deng, G. Weihs, C. Santori, J. Bloch, and Y. Yamamoto, *Science* **298**, 199 (2002).
33. H. Deng, G. Weihs, D. Snoke, J. Bloch, and Y. Yamamoto, *PNAS* **100**, 15318 (2003).
34. A.S. Brichkin, S.I. Novikov, A.V. Larionov, V.D. Kulakovskii, M.M. Glazov, C. Schneider, S. Höfling, M. Kamp, and A. Forchel, *Phys. Rev. B* **84**, 195301 (2011).
35. A.A. Demenev, Ya.V. Grishina, S.I. Novikov, V.D. Kulakovskii, C. Schneider, and S. Höfling, *Phys. Rev. B* **94**, 195302 (2016).
36. N.S. Voronova, A.A. Elistratov, and Yu.E. Lozovik, *J. Nanophot.* **6**, 061802 (2012).